



数字信号处理

任课教师: 田春娜 (博士)

单位: 西安电子科技大学 电子工程学院

Email: chnatian@xidian.edu.cn

chnatian@gmail.com

参考书籍



- 高新波, 阔永红, 田春娜. 数字信号处理. 高等教育出版社, 2014.
- 史林, 赵树杰. 数字信号处理. 科学出版社. 2007.
- Alan V. Oppenheim, Ronald W. Schaffer. Discrete-Time Signal Processing. 电子工业出版社, 2011.
- 高西全, 丁玉美. 数字信号处理及其习题解答. 西电出版社, 2008.
- Vinay K. Ingle, John G. Proakis. Digital Signal Processing Using MATLAB®. Northeastern University, 1996.

引言



- ◆ IIR或FIR数字滤波器理论设计完后,得到了滤波器的系统函数或差分方程

$$H(z) = \frac{Y(z)}{X(z)} = \frac{\sum_{i=0}^M b_i z^{-i}}{1 + \sum_{k=1}^N a_k z^{-k}}$$

$$\sum_{k=0}^N a_k y(n-k) = \sum_{i=0}^M b_i x(n-i), \quad a_0 = 1$$

- ◆ 在此基础上还需要具体设计滤波器的算法结构, 以便实现

引言



◆ 这需要考虑:

- 计算的效率，即完成整个滤波所需要的乘法和加法次数
- 需要存储量
- 滤波器系数的量化影响
- 运算中的舍入和截断误差、饱和以及溢出等等

◆ 网络结构实际表示的是一种算法结构，不同的滤波器网络结构可以实现同样的系统函数

引言



$$H_1(z) = \frac{1}{1 - 0.8z^{-1} + 0.15z^{-2}}$$

$$H_2(z) = \frac{-1.5}{1 - 0.3z^{-1}} + \frac{2.5}{1 - 0.5z^{-1}}$$

$$H_3(z) = \frac{1}{1 - 0.3z^{-1}} \cdot \frac{1}{1 - 0.5z^{-1}}$$

$$H_1(z) = H_2(z) = H_3(z)$$

- ◆ 不同的算法/网络结构直接影响系统运算误差、运算速度以及系统的复杂程度和成本等，因此研究实现信号处理的算法是一个很重要的问题

第8章 数字滤波器的算法结构



◆ 8.1 信号流图

◆ 8.2 IIR数字滤波器的算法结构

➤ 8.2.1 直接型结构

➤ 8.2.2 级联型结构

➤ 8.2.3 并联型结构

◆ 8.3 FIR数字滤波器的算法结构

➤ 8.3.1 直接型

➤ 8.3.2 级联型

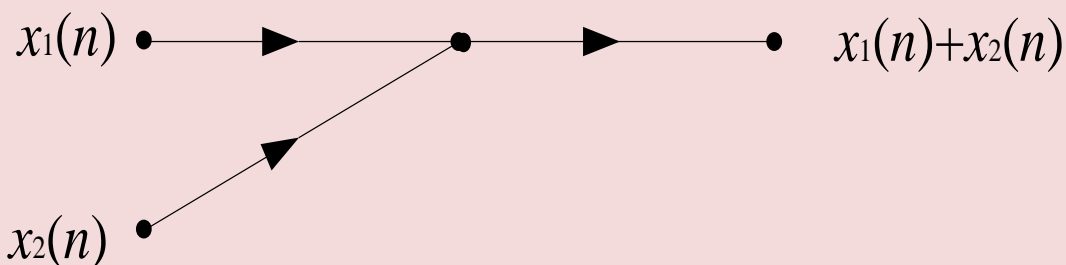
➤ 8.3.3 线性相位型

➤ 8.3.4 频率采样型



8.1 信号流图

- ◆ 用信号流图来表示网络结构，信号流图由节点和有向支路组成，整个运算结构完全可用一些基本运算支路组成
- ◆ 实现一个数字滤波器需要几种基本的运算单元----**加法器**、**乘法器**和**单位延时**



➤ 加法器

- 每个节点表示一个信号，每个节点处的信号称为节点变量
- 箭头表示信号流动的方向
- 和每个节点连接的有输入支路和输出支路。节点变量等于所有输入支路的末端信号之和

8.1 信号流图



- 乘法器 $x(n) \xrightarrow{a} ax(n)$
- 单位时延 $x(n) \xrightarrow{1/z} x(n-1)$
- 写在支路箭头旁边的系数 a 称为支路增益
- z^{-1} 代表单位时延

第8章 数字滤波器的算法结构



◆ 8.1 信号流图

◆ 8.2 IIR数字滤波器的算法结构

➤ 8.2.1 直接型结构

➤ 8.2.2 级联型结构

➤ 8.2.3 并联型结构

◆ 8.3 FIR数字滤波器的算法结构

➤ 8.3.1 直接型

➤ 8.3.2 级联型

➤ 8.3.3 线性相位型

➤ 8.3.4 频率采样型

8.2 IIR数字滤波器的算法结构



◆ IIR数字滤波器的系统函数如下

$$H(z) = \frac{B(z)}{A(z)} = \frac{\sum_{n=0}^M b_n z^{-n}}{\sum_{n=0}^N a_n z^{-n}} = \frac{b_0 + b_1 z^{-1} + \cdots + b_M z^{-M}}{1 + a_1 z^{-1} + \cdots + a_N z^{-N}}; a_0 = 1$$

其中 $a_0=1$ 。如果 $N \geq M, a_k \neq 0$ ，这时IIR滤波器的阶数为 N

◆ IIR数字滤波器的差分方程如下

$$y(n) = \sum_{m=0}^M b_m x(n-m) - \sum_{m=1}^N a_m y(n-m)$$



IIR数字滤波器的三种算法结构

- ◆ IIR数字滤波器的特点是无限长,表现在信号流图中是含有反馈的支路
- ◆ IIR数字滤波器有三种算法结构
 - 直接型: 该结构分两个部分: 滑动平滑部分和递归部分, 根据这两部分的先后顺序可进一步分为: 直接I型和直接II型
 - 级联型: 将 $H(z)$ 分解为若干个二阶子系统相乘的形式, 每个二阶子系统都以直接型结构实现
 - 并联型: 将 $H(z)$ 分解为若干个二阶子系统相加的形式, 每个二阶子系统都以直接型结构实现

第8章 数字滤波器的算法结构



◆ 8.1 信号流图

◆ 8.2 IIR数字滤波器的算法结构

➤ 8.2.1 直接型结构

➤ 8.2.2 级联型结构

➤ 8.2.3 并联型结构

◆ 8.3 FIR数字滤波器的算法结构

➤ 8.3.1 直接型

➤ 8.3.2 级联型

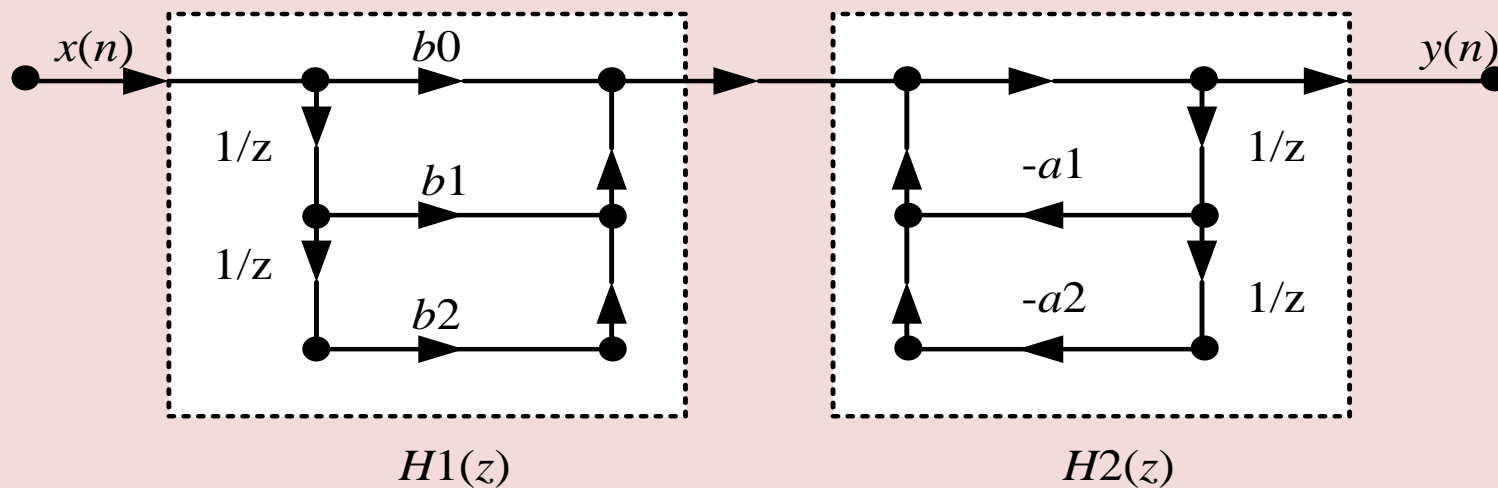
➤ 8.3.3 线性相位型

➤ 8.3.4 频率采样型

8.2.1 直接型结构

- ◆ 由系统的差分方程或系统函数直接得到
- ◆ 用差分方程的形式来表示

$$y(n] = b_0x(n) + b_1x(n-1) + b_2x(n-2) - a_1y(n-1) - a_2y(n-2)$$



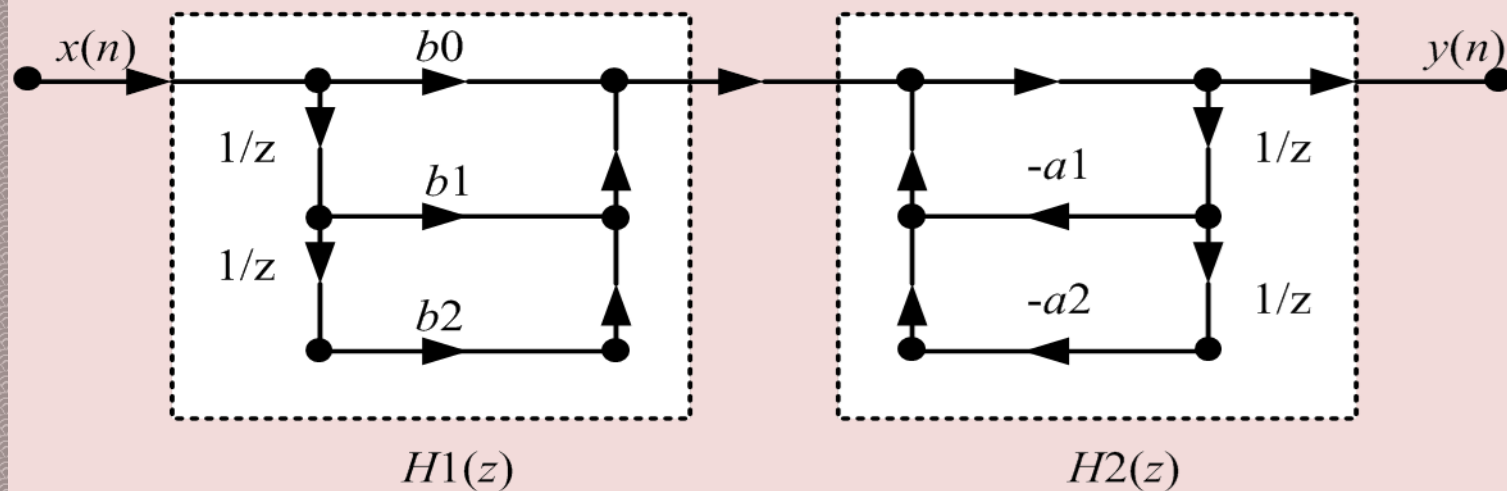
直接型 I

- ◆ $H(Z)$ 可看成是 $H_1(Z)$ 和 $H_2(Z)$ 的乘积

$$H(z) = H_1(z)H_2(z)$$

$$H_1(z) = \sum_{i=0}^M b_i z^{-i} \quad H_2(z) = \frac{1}{1 + \sum_{k=1}^N a_k z^{-k}}$$

$$M=N=2$$

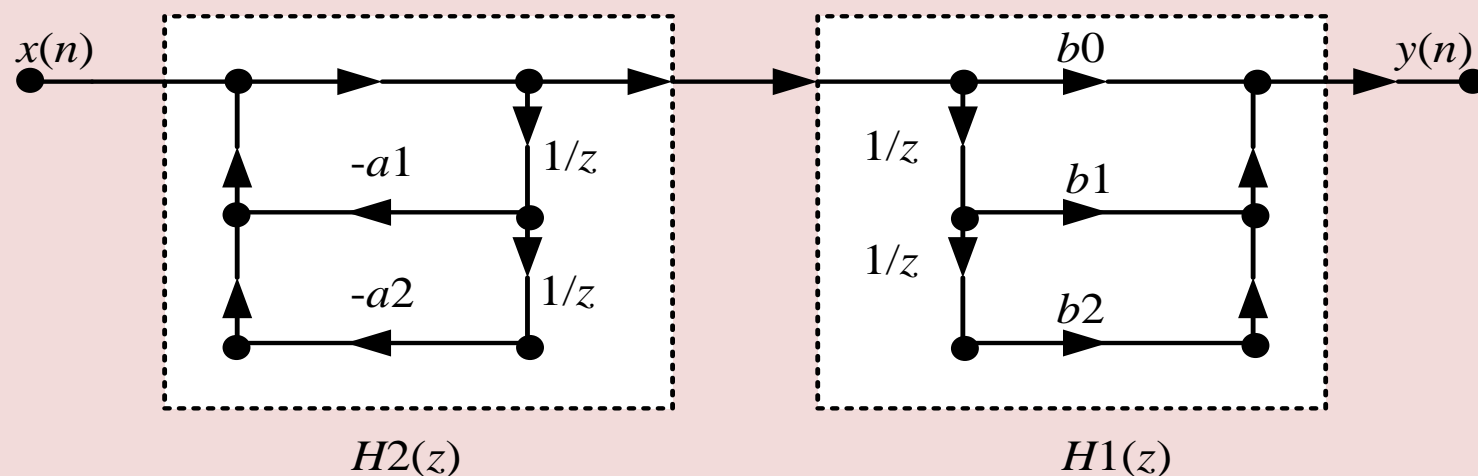


直接型 II



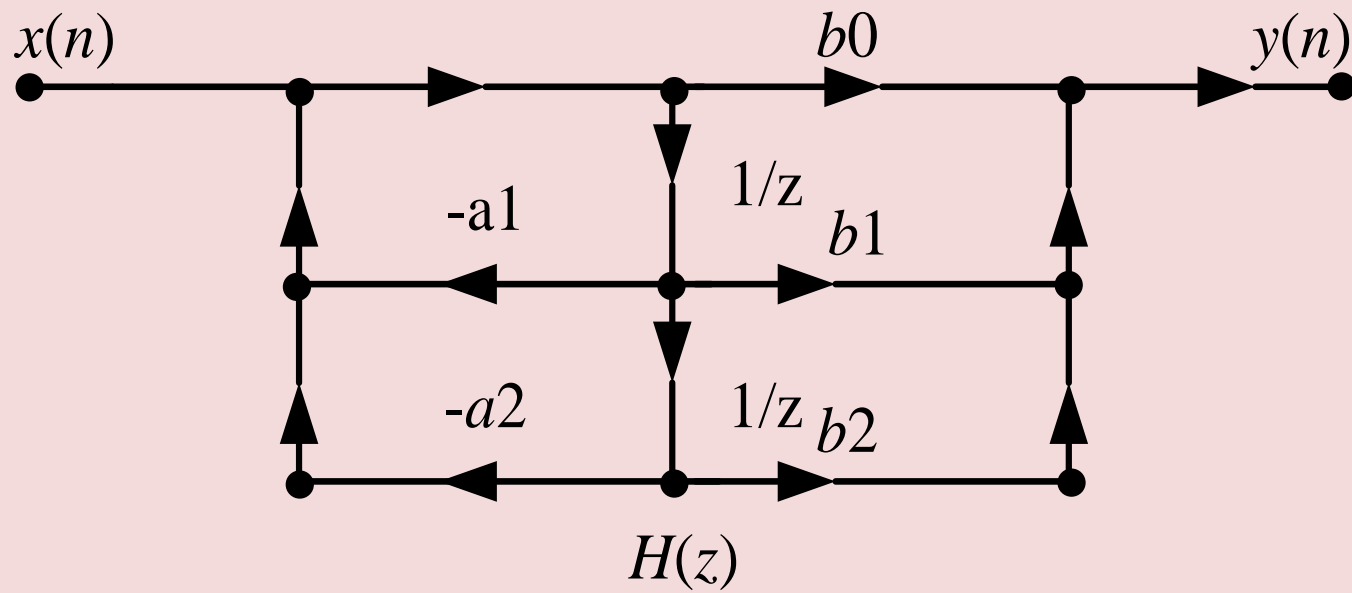
- ◆ 如果将 $H_1(z)$ 和 $H_2(z)$ 交换次序, 并不影响整个系统的特性

$$H(z) = H_1(z)H_2(z) = H_2(z)H_1(z)$$

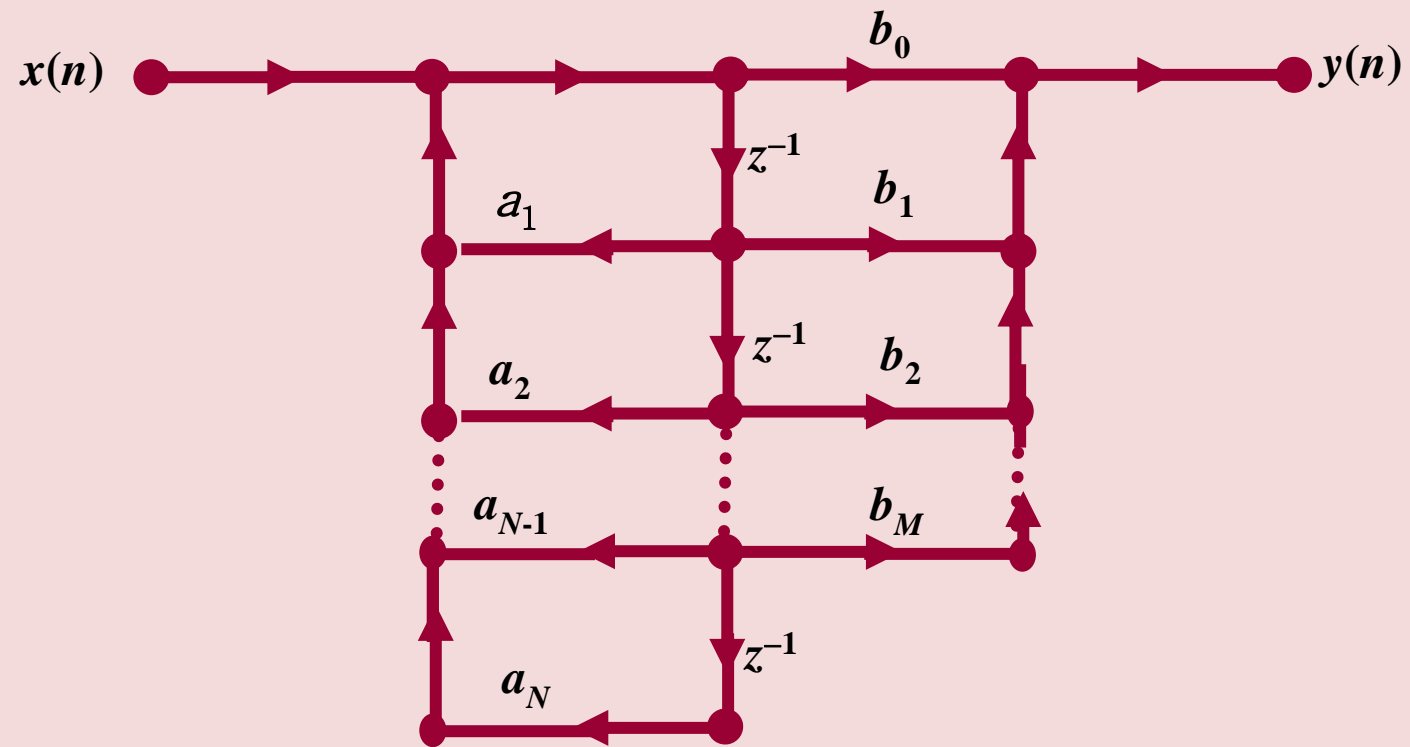


- ◆ 交换完后, 前后两支路的延迟单元可以合并, 以节省延迟单元

直接型 II



直接型II



8.2.1 直接型结构



◆ 优点

- 简单直观
- 使用的延时单元少

◆ 缺点

- 改变某一个系数 b_i 将影响所有零点之值, 改变某一个系数 a_k 将影响所有极点之值
- 这种结构对参数的量化非常敏感, 当 N 较大时, 由于参数量化将会导致系统的零极点位置有较大的位移, 如果极点的位置移到单位圆外, 会引起系统的不稳定性

第8章 数字滤波器的算法结构



◆ 8.1 信号流图

◆ 8.2 IIR数字滤波器的算法结构

➤ 8.2.1 直接型结构

➤ 8.2.2 级联型结构

➤ 8.2.3 并联型结构

◆ 8.3 FIR数字滤波器的算法结构

➤ 8.3.1 直接型

➤ 8.3.2 级联型

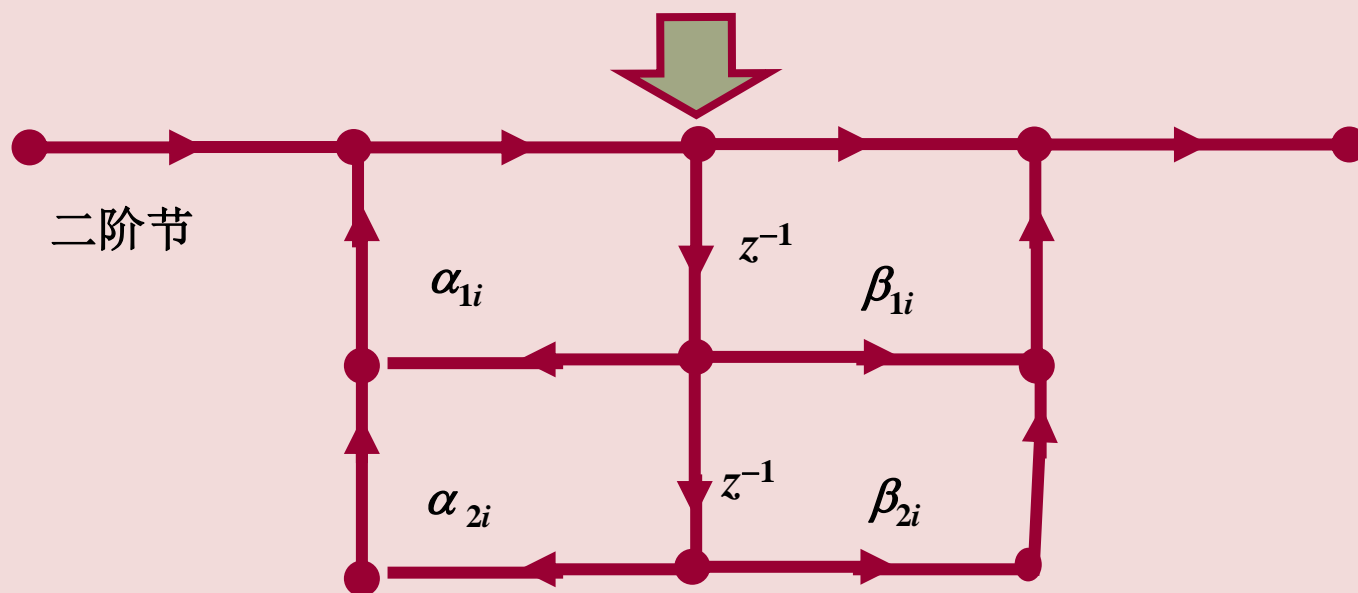
➤ 8.3.3 线性相位型

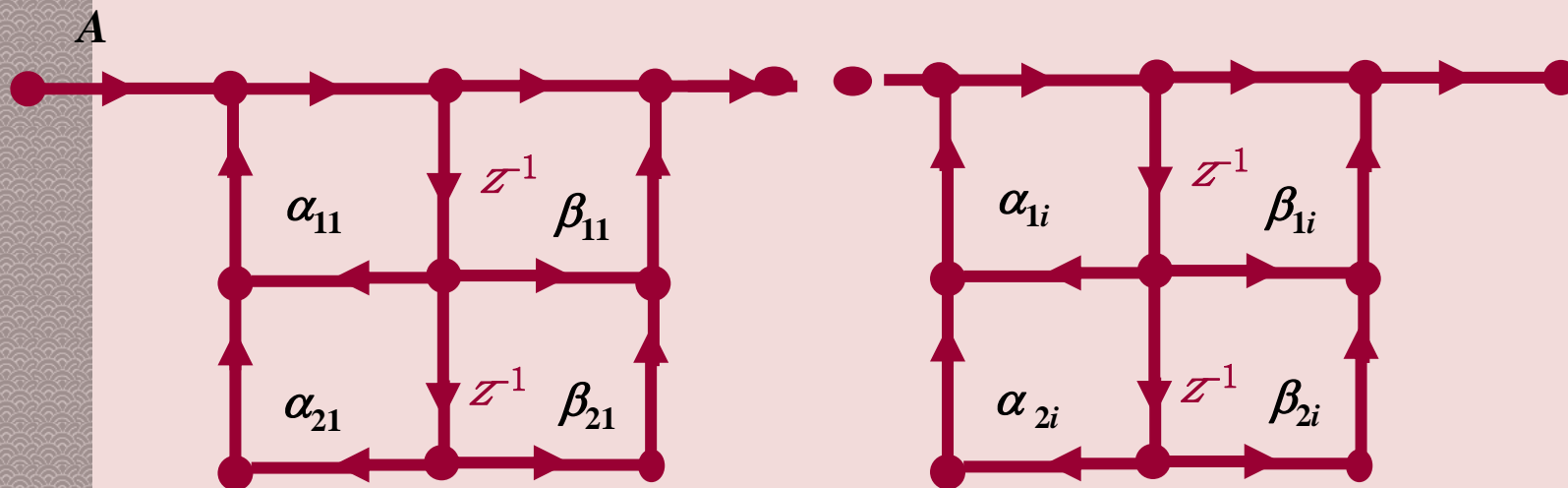
➤ 8.3.4 频率采样型

8.2.2 级联型结构

- ◆ 将系统函数的分子分母进行因式分解，然后合并形成实系数二阶多项式，形成滤波器的二阶基本节连乘的形式

$$H(z) = A \cdot \prod_{i=1}^k \frac{1 + \beta_{1i}z^{-1} + \beta_{2i}z^{-2}}{1 - \alpha_{1i}z^{-1} - \alpha_{2i}z^{-2}}$$





- ◆每一个二阶节都只关系到滤波器的一对极点和一对零点，调整第 i 个子滤波器的系数，仅单独调整第 i 对零极点，便于准确实现滤波器零、极点，因而便于调整滤波器频率响应性能
- ◆灵活性好，适用于高阶滤波器

第8章 数字滤波器的算法结构



◆ 8.1 信号流图

◆ 8.2 IIR数字滤波器的算法结构

➤ 8.2.1 直接型结构

➤ 8.2.2 级联型结构

➤ 8.2.3 并联型结构

◆ 8.3 FIR数字滤波器的算法结构

➤ 8.3.1 直接型

➤ 8.3.2 级联型

➤ 8.3.3 线性相位型

➤ 8.3.4 频率采样型

8.2.3 并联型结构

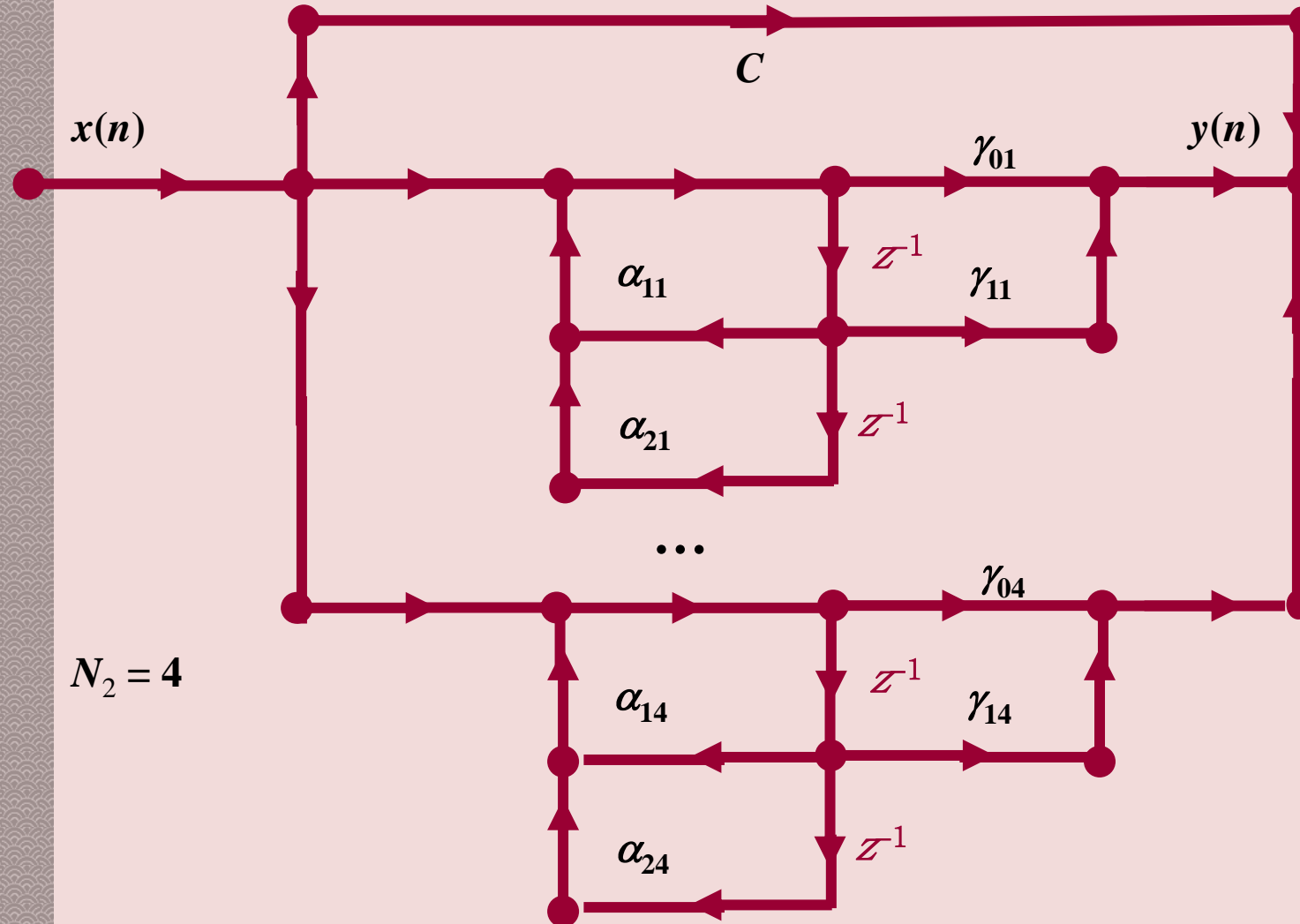
- ◆ 将 $H(Z)$ 展开成部分分式之和, 滤波器由: 常增益支路, L 个二阶子系统并联构成

$$H(z) = C + \sum_{k=1}^{N_2} \frac{\gamma_{0k} + \gamma_{1k} z^{-1}}{1 - \alpha_{1k} z^{-1} - \alpha_{2k} z^{-2}}$$





$$H(z) = C + \sum_{k=1}^{N_2} \frac{\gamma_{0k} + \gamma_{1k} z^{-1}}{1 - \alpha_{1k} z^{-1} - \alpha_{2k} z^{-2}}$$



$N_2 = 4$



- ◆ 并联型可以用调整 α_{1k} , α_{2k} 的办法来调整一对极点的位置，但是不能像级联型那样单独调整零点的位置
- ◆ 并联结构中，各并联基本节的误差互相没有影响，所以比级联型的误差一般来说要稍小一些

第8章 数字滤波器的算法结构



◆ 8.1 信号流图

◆ 8.2 IIR数字滤波器的算法结构

➤ 8.2.1 直接型结构

➤ 8.2.2 级联型结构

➤ 8.2.3 并联型结构

◆ 8.3 FIR数字滤波器的算法结构

➤ 8.3.1 直接型

➤ 8.3.2 级联型

➤ 8.3.3 线性相位型

➤ 8.3.4 频率采样型



8.3 FIR数字滤波器的算法结构

- ◆ FIR数字滤波器的系统函数和差分方程如下：

$$H(z) = \sum_{n=0}^{N-1} h(n)z^{-n} \quad y(n) = \sum_{m=0}^{N-1} h(m)x(n-m)$$

- ◆ FIR数字滤波器的网络结构特点是没有反馈支路，
算法结构分为四种

- 直接型
- 级联型
- 线性相位型
- 频率采样型

第8章 数字滤波器的算法结构



◆ 8.1 信号流图

◆ 8.2 IIR数字滤波器的算法结构

➤ 8.2.1 直接型结构

➤ 8.2.2 级联型结构

➤ 8.2.3 并联型结构

◆ 8.3 FIR数字滤波器的算法结构

➤ 8.3.1 直接型

➤ 8.3.2 级联型

➤ 8.3.3 线性相位型

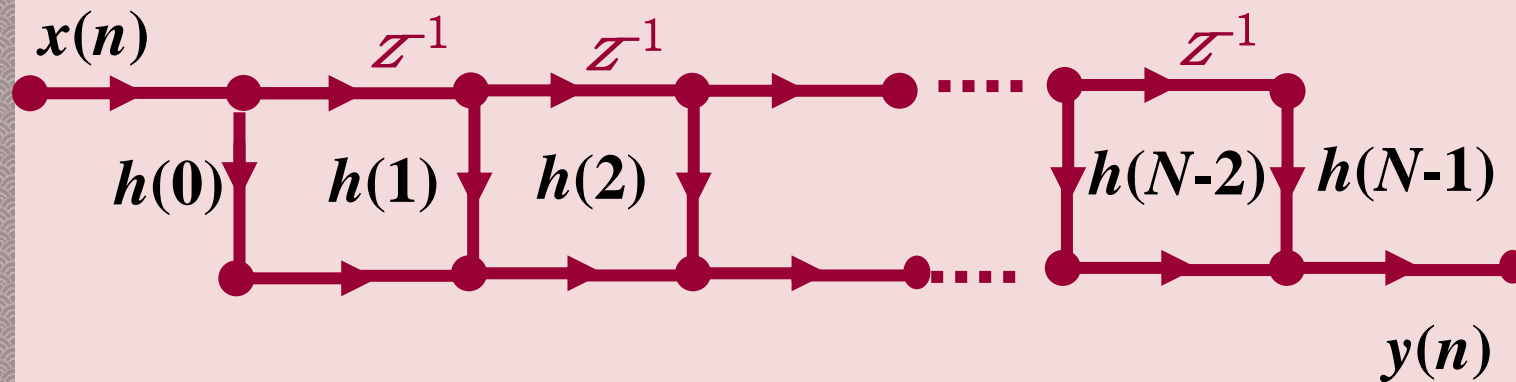
➤ 8.3.4 频率采样型



8.3.1 直接型 (卷积型、横截型)结构

- ◆ 按照卷积公式直接画出，也是 $x(n]$ 的延时链的横向结构

$$y(n) = \sum_{m=0}^{N-1} h(m)x(n-m)$$



第8章 数字滤波器的算法结构



◆ 8.1 信号流图

◆ 8.2 IIR数字滤波器的算法结构

➤ 8.2.1 直接型结构

➤ 8.2.2 级联型结构

➤ 8.2.3 并联型结构

◆ 8.3 FIR数字滤波器的算法结构

➤ 8.3.1 直接型

➤ 8.3.2 级联型

➤ 8.3.3 线性相位型

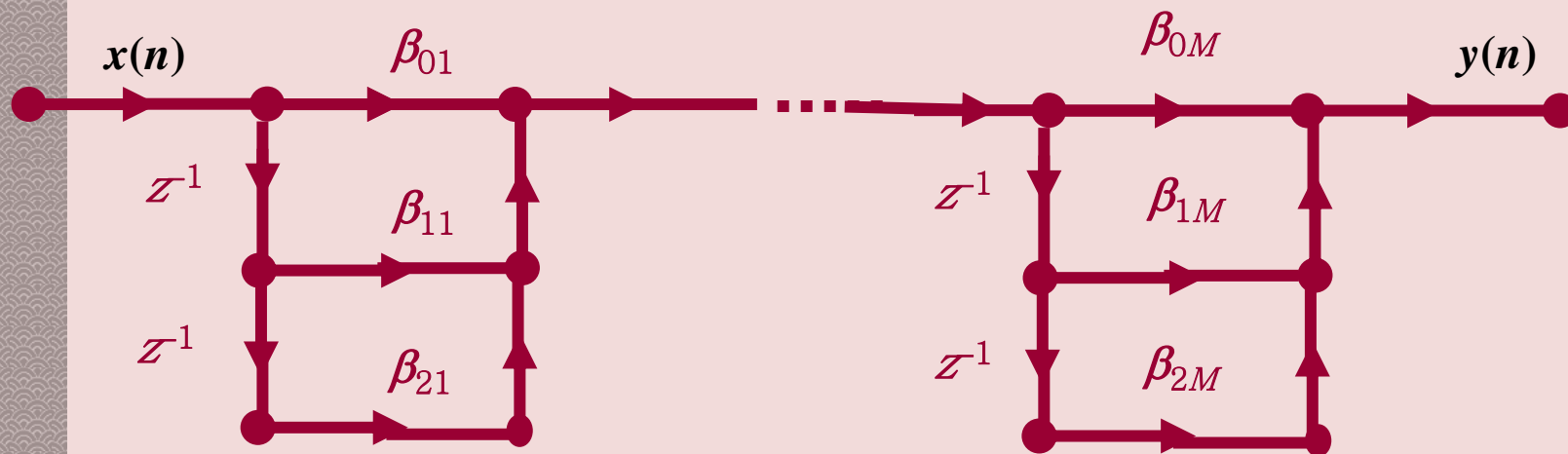
➤ 8.3.4 频率采样型



8.3.2 级联型结构

- ◆ 对 $H(Z)$ 进行因式分解, 将共轭成对的零点放在一起, 形成系数为实数的二阶子系统, 把这些子系统级联起来就形成级联型结构

$$H(z) = \prod_{k=1}^M (\beta_{0k} + \beta_{1k}z^{-1} + \beta_{2k}z^{-2})$$



适用于需要控制零点的场合, 但滤波器系数增多, 乘法运算次数增多

第8章 数字滤波器的算法结构



◆ 8.1 信号流图

◆ 8.2 IIR数字滤波器的算法结构

➤ 8.2.1 直接型结构

➤ 8.2.2 级联型结构

➤ 8.2.3 并联型结构

◆ 8.3 FIR数字滤波器的算法结构

➤ 8.3.1 直接型

➤ 8.3.2 级联型

➤ 8.3.3 线性相位型

➤ 8.3.4 频率采样型

8.3.3 线性相位型结构



◆ FIR线性相位

➤ $h(n) = h(N-1-n)$ 偶对称, 严格线性相位

➤ $h(n) = -h(N-1-n)$ 奇对称, 广义线性相位

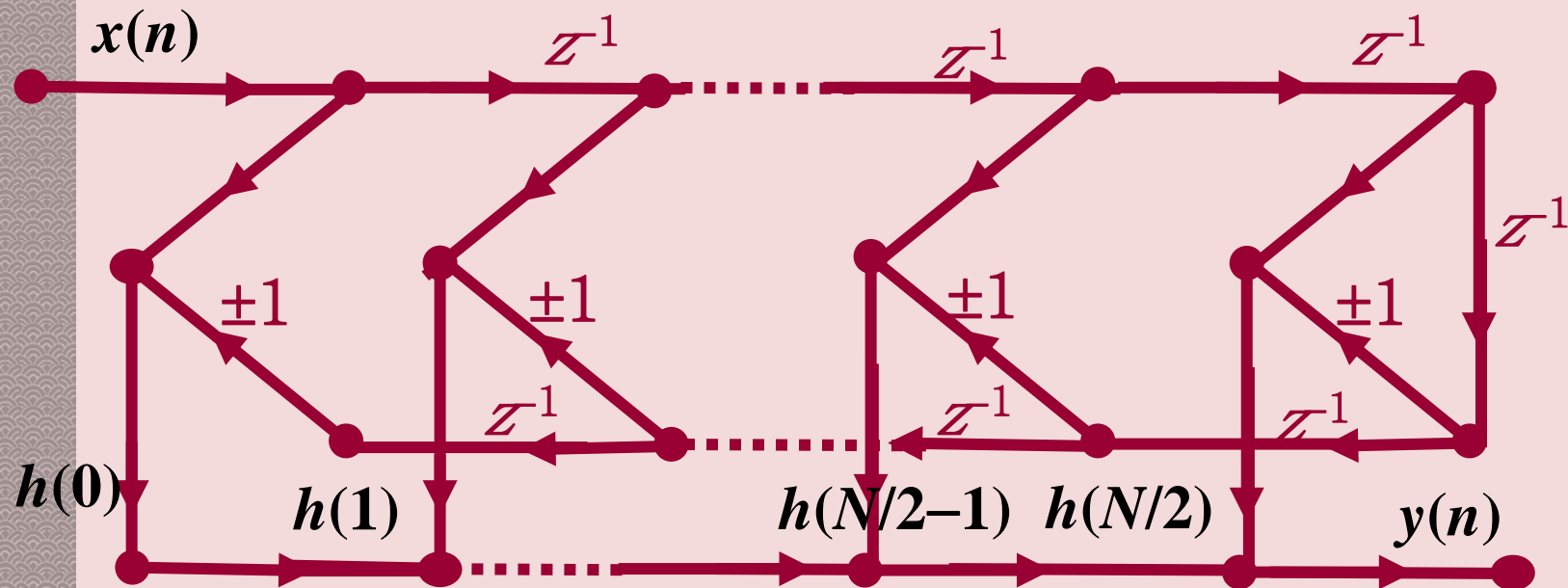
$$N \text{偶数: } H(z) = \sum_{n=0}^{\frac{N}{2}-1} h(n) [z^{-n} \pm z^{-(N-1-n)}]$$

$$N \text{奇数: } H(z) = \sum_{n=0}^{\frac{N-1}{2}-1} h(n) [z^{-n} \pm z^{-(N-1-n)}] + h\left(\frac{N-1}{2}\right) z^{-\frac{N-1}{2}}$$

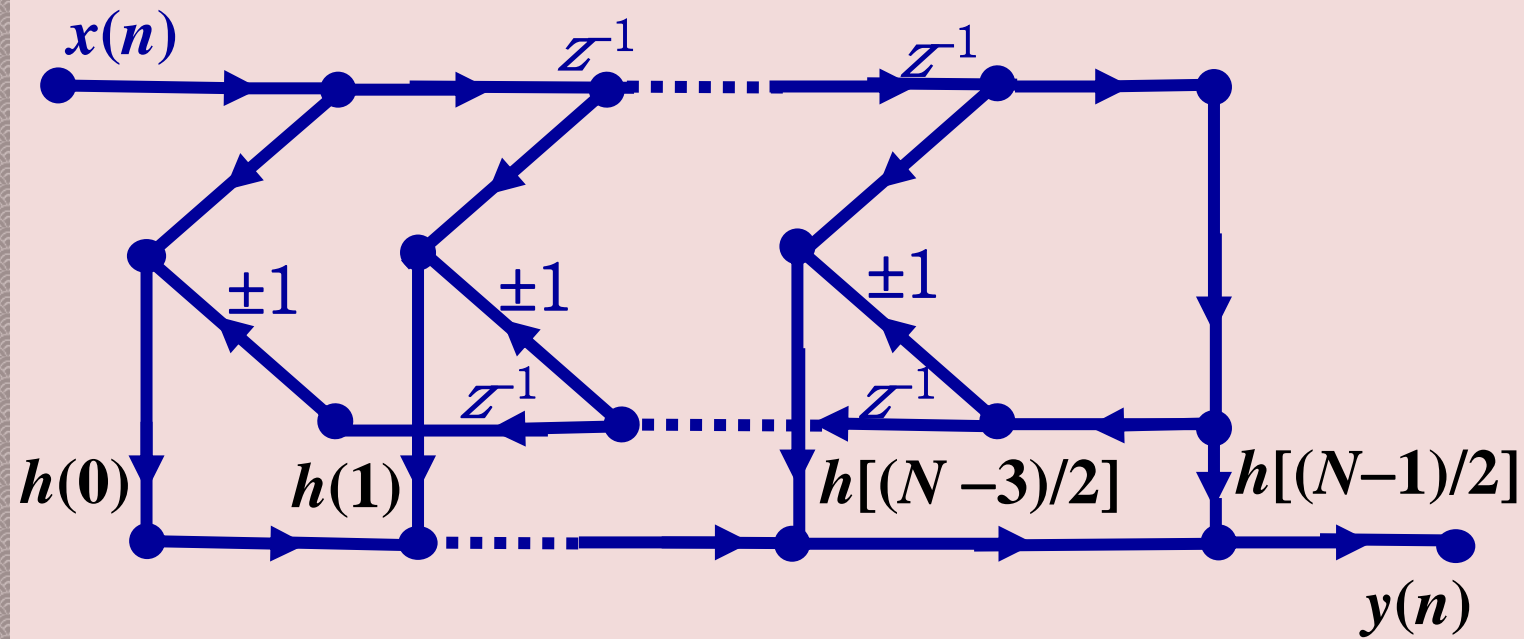
乘法次数比直接型节省一半左右

N 为偶数

$$H(z) = \sum_{n=0}^{\frac{N}{2}-1} h(n) [z^{-n} \pm z^{-(N-1-n)}]$$



$$N \text{ 奇数: } H(z) = \sum_{n=0}^{\frac{N-1}{2}-1} h(n)[z^{-n} \pm z^{-(N-1-n)}] + h\left(\frac{N-1}{2}\right) z^{-\frac{N-1}{2}}$$



第8章 数字滤波器的算法结构



◆ 8.1 信号流图

◆ 8.2 IIR数字滤波器的算法结构

➤ 8.2.1 直接型结构

➤ 8.2.2 级联型结构

➤ 8.2.3 并联型结构

◆ 8.3 FIR数字滤波器的算法结构

➤ 8.3.1 直接型

➤ 8.3.2 级联型

➤ 8.3.3 线性相位型

➤ 8.3.4 频率采样型



8.3.4 频率采样结构

- ◆ 根据上章中FIR数字滤波器频率采样法的基本原理可知:如果对滤波器的系统函数 $H(Z)$ 在单位圆上等间隔采样 N 点, 且 N 大于等于滤波器的单位脉冲响应长度 M , 那么 $H(Z)$ 可由采样值 $H(k)$ 通过内插公式来表示:

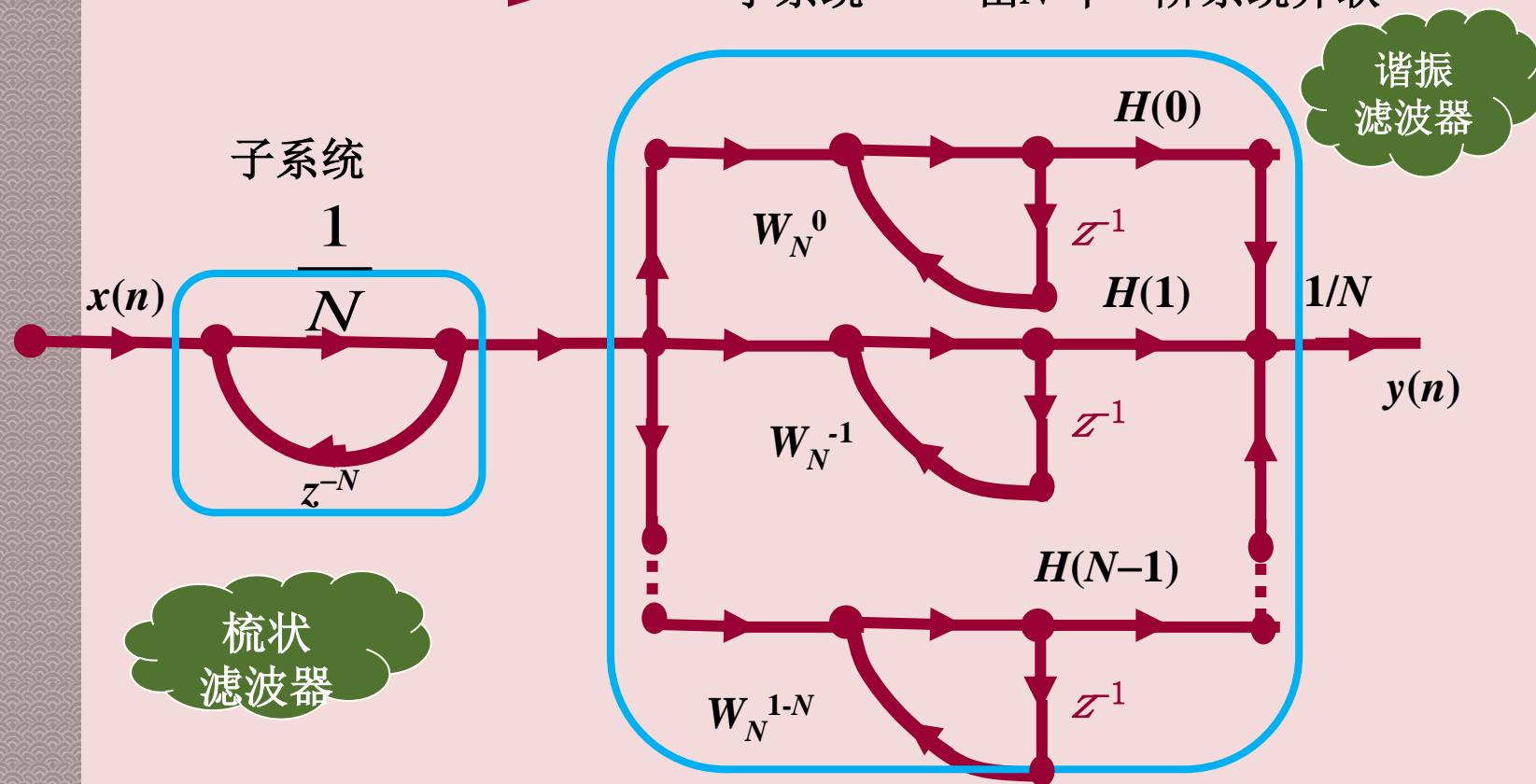
$$H(z) = \frac{1 - z^{-N}}{N} \sum_{k=0}^{N-1} \frac{H(k)}{1 - W_N^{-k} \cdot z^{-1}}$$



$$H(z) = \frac{1 - z^{-N}}{N} \sum_{k=0}^{N-1} \frac{H(k)}{1 - W_N^{-k} \cdot z^{-1}}$$



子系统 —— 由 N 个一阶系统并联

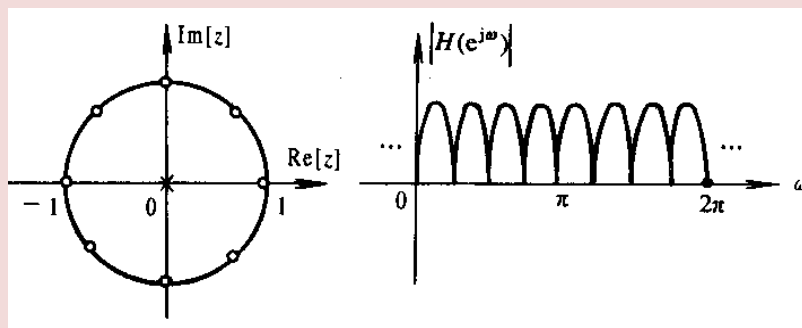




例 2.6.4 已知 $H(z) = 1 - z^{-N}$ ，试定性画出系统的幅频特性。

解：
$$H(z) = 1 - z^{-N} = \frac{z^N - 1}{z^N}$$

$H(z)$ 的极点为 $z=0$ ，这是一个 N 阶极点，它不影响系统的频响。零点有 N 个，由分子多项式的根决定



$$z^N - 1 = 0, z^N = e^{j2\pi k}$$

$$z = e^{j\frac{2\pi}{N}k}, k = 0, 1, 2, \dots, N-1$$

N 个零点等间隔分布在单位圆上，设 $N=8$ ，极零点分布如图2.6.5所示。当 ω 从零变化到 2π 时，每遇到一个零点，幅度为零，在两个零点的中间幅度最大，形成峰值。幅度谷值点频率为： $\omega_k = (2\pi/N)k, k=0, 1, 2, \dots, (N-1)$ 。一般将具有如图2.6.5所示的幅度特性的滤波器称为梳状滤波器。



- ◆ 频率抽样结构的**特点**：系数 $H(k)$ 就是在 $\omega = 2\pi/N$ 处的响应，因此控制滤波器的频率响应很方便。但是结构中所乘的系数 $H(k)$ 及 W_N^{-k} 都是复数，增加了乘法次数和存储量
- ◆ 子系统 $1-z^{-N}$ 的零点为 W_N^{-k} ，另一个子系统的极点正好也是在 $z=W_N^{-k}$ 上，它们位于单位圆上，并与子系统 $1-z^{-N}$ 的零点互相抵消。这样，当系数量化时，这些极点会移动，如果移到 z 平面单位圆外，系统就不稳定了
- ◆ 为了克服系数量化后可能不稳定的缺点，可以将频率抽样结构做一点修正，即将所有零、极点都移到单位圆内某一靠近单位圆、半径为 r （ r 小于或近似等于1）的圆上



$$H(z) = \frac{1 - r^N z^{-N}}{N} \cdot \sum_{k=0}^{N-1} \frac{H_r(k)}{1 - r W_N^{-k} z^{-1}}$$

$H_r(k)$ 为新抽样点上的抽样值，但是由于 $r \approx 1$ ，因此有

$$H_r(k) = H(z) \Big|_{z=rW_N^{-k}} \approx H(z) \Big|_{z=W_N^{-k}} = H(k)$$

$$H(z) \approx \frac{1 - r^N z^{-N}}{N} \cdot \sum_{k=0}^{N-1} \frac{H(k)}{1 - r W_N^{-k} z^{-1}}$$



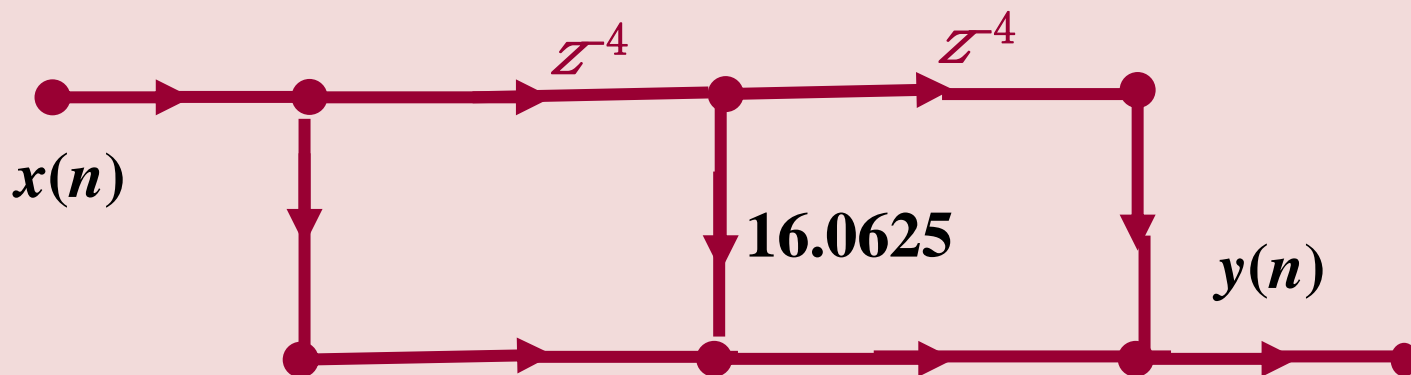
例8.3.1 设FIR滤波器的系统函数为

$$H(z) = 1 + \frac{17}{16} z^{-4} + z^{-8}$$

试确定其直接、线性相位和级联型结构

解：（1）直接型结构的差分方程为

$$y(n] = x(n] + 16.0675 x(n-4] + x(n-8]$$



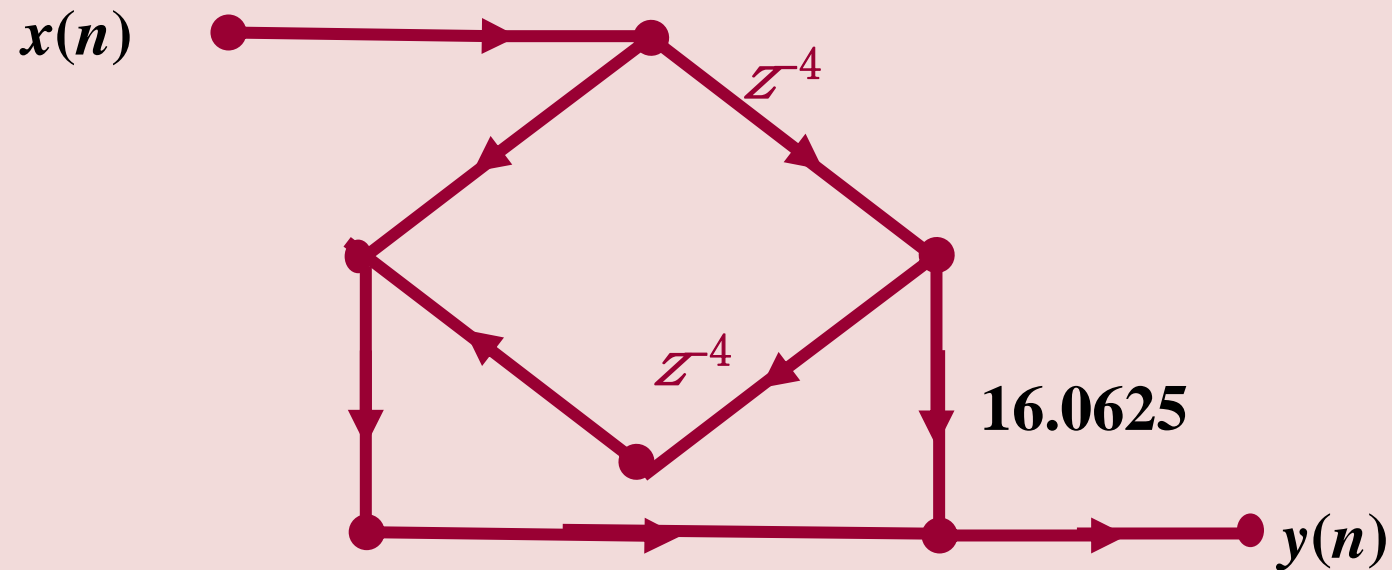


(2) 线性相位结构的差分方程为

$$y(n) = \sum_{m=0}^{N-1} h(m)x(n-m)$$

$$h(n) = \pm h(N-1-n)$$

$$y(n) = [x(n) + x(n-8)] + 16.0675 x(n-4)$$





(3) 级联型结构的滤波系数可用MATLAB程序求解

$$H(z) = (1 + 2.8284 z^{-1} + 4z^{-2}) (1 - 2.8284z^{-1} + 4z^{-2}) \\ (1 + 0.7071z^{-1} + 0.25z^{-2}) (1 - 0.7071z^{-1} + 0.25z^{-2})$$

